尿素SCRシステムにおけるN2O排出解析と設計指針の検討

Analysis of N₂O Emissions and Design Optimization for Urea-SCR System

米山 香澄*藤井 謙治*小澤 恒*Kasumi YoneyamaKenji FujiiHisashi Ozawa

石川 直也*阿野田 洋**大堀 鉄平*Naoya IshikawaHiroshi AnodaTeppei Ohori

要旨

尿素SCRシステムにおいて、NOx浄化に伴う N_2O (亜酸化窒素)の副生成が課題である。本研究では、尿素SCRシステムのプラントモデルに含まれる5因子の組み合わせによる感度解析を実施する。 N_2O 生成要因を解明することで、NOx浄化率向上と N_2O 生成抑制を両立可能な尿素SCRシステムの設計指針を提案する。

Abstract

In urea SCR systems, nitrous oxide (N_2O) by-production during NOx conversion is an issue. In this study, a sensitivity analysis is performed using a combination of five factors included in a plant model of the urea SCR system. By clarifying the factors that contribute to N_2O formation, we propose a design guideline for the urea SCR system that can both improve the NOx conversion ratio and suppress N_2O formation.

1 はじめに

ディーゼルエンジンの排出ガスに含まれるNOx(窒 素酸化物)の高度な浄化を目的として、尿素 SCR(Selective Catalytic Reduction)システム(図1)が 用いられる。尿素SCRシステムは、尿素水の供給部、 尿素の加水分解により生じるNH₃(アンモニア)を還元 材として排出ガス中のNOxを浄化するSCR触媒、及び 余剰のNH₃を酸化分解するASC(アンモニアスリップ 触媒:Ammonia Slip Catalyst)から構成される(1)。尿 素SCRシステムは、世界的な排出ガス規制に対応する ために、触媒材質の改良及びシステム最適化による NOx浄化性能の向上が進められてきた。また、尿素 SCRシステムは、NOx浄化の過程でNH₃及びN₂O(亜 酸化窒素)を生成することも知られており、それらの排 出低減に向けた取り組みも並行して検討されている。 このうちN2OはCO2に対して273倍の地球温暖係数を 持つ強力な温室効果ガスであり、CO2とCH4(メタン) に次いで地球温暖化に対して寄与していると言われて いる⁽²⁾。Clairotteらの調査では、商用車の排出ガスに 含まれる温室効果ガスのうちN2OがCO2換算で0~ 7%を占めており、その影響を無視できないと結論付け た(3)。また、国内においても商用車からのN2O排出につ いては以前から注目され、実態及び原因が調査されて いる(4)(5)(6)。更に近年では、規制年次の新しい車両で、 N₂O排出量の高い傾向が指摘されている⁽⁷⁾。したがっ て、尿素SCRを搭載した商用車からのN2O排出の低減 は現在においても重要な課題である。

これまでに尿素SCRシステムにおけるN2Oの生成 メカニズムとして、SCR触媒上でのNOx浄化反応にお ける副生、NO₂(二酸化窒素)共存下で生じる NH₄NO₃(硝酸アンモニウム)の分解^{(8) (9)}、及びASCの PGM触媒(白金族金属触媒:Platinum Group Metal Catalyst)上でのNH₃酸化反応における副生(¹)(¹0)など が報告されている。一方、システム設計の観点からは、 システムレイアウト、触媒の反応特性、担持量、容量、 尿素水の供給制御などがN2Oの排出量に複合的に影 響すると想定されるものの、これらを系統的に解析し た事例はほとんどない。そこで本研究では、まず、単 体試験とシミュレーションにより走行時の尿素SCRに 由来するN₂O排出について解析を行った。次に、主要 な設計パラメータに対するN₂Oの排出量の感度解析、 NOx及びNH₃排出量とのトレードオフ関係の解析、更 には設計パラメータの網羅的な組み合わせ解析により、 NOx、N2O、及びNH3の排出量を同時低減するための 設計指針として考慮すべき知見を整理した。

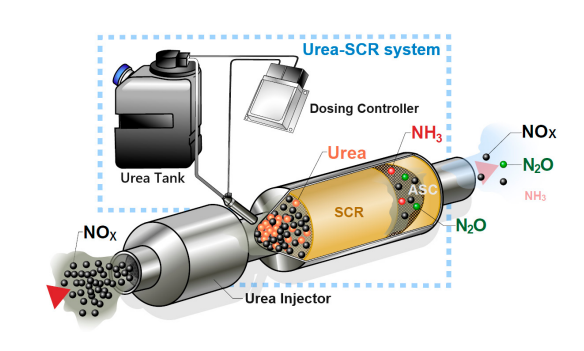


図1 尿素SCRシステム

^{* ㈱}いすゞ中央研究所

^{**} エンジン装置設計部

2 実験及び計算手法

2.1 供試触媒と評価条件

単体試験により触媒のN2O生成特性を評価した。コージェライトハニカム(5mil*1/300cpsi*2)にSCRではCu-SCR触媒(Cuイオン交換ゼオライト触媒)を、ASCではPGM触媒とCu-SCR触媒を複層でコートしたものを用いた。直径20mm、長さ20mmの試験片を切出し、600℃、10% H2O/Airの雰囲気下で100時間の水熱処理を施したものを供試触媒とした。試験には触媒評価システム(ベスト測器製CATA5000)を使用し、触媒にNH3を飽和吸着させてから、表1に示す試験条件を実施した。NO、NO2、NH3、及びN2O濃度の計測はFT-IR(ベスト測器製Bex-1000FT)を用いた。

| | SCR | | ASC | | |
|-------------------------|---------|---|--------------------|-----|--|
| | NO+NH₃ | NO+NO ₂ + NH ₃ | NO+NH ₃ | NH₃ | |
| Temperature [degC] | 150→600 | | | | |
| SV [h ⁻¹] | 60,000 | | | | |
| NO [ppm] | 300 | 150 | 300 | 0 | |
| NO ₂ [ppm] | 0 | 150 | 0 | | |
| NH ₃ [ppm] | 300 |) | 300 | | |
| O ₂ [%] | 8 | | | | |
| H ₂ O [%] | 10 | | | | |

表1 触媒単体試験条件

2.2 シミュレーション条件

WLTC(Worldwide-harmonized Light vehicles Test Cycle)モードでの過渡走行における排出ガスのシミュレーション解析に、図2に示す構成の尿素SCRシステムモデルを用いた。SCR及びASCのプラントモデルは、既報の触媒モデル $^{(11)(12)}$ である。触媒モデルの反応速度定数は単体試験の結果に基づいて同定した。尿素水の供給制御は、Opitzらの先行研究 $^{(13)}$ を参考に、SCRのNH $_3$ 吸着量を制御因子として、SCRのNH $_3$ 吸着量が目標値(目標NH $_3$ 吸着量)に達するように尿素水の供給量を制御した。シミュレーションの入力には1.9 Lのディーゼルエンジンの排出ガスデータを用いた。

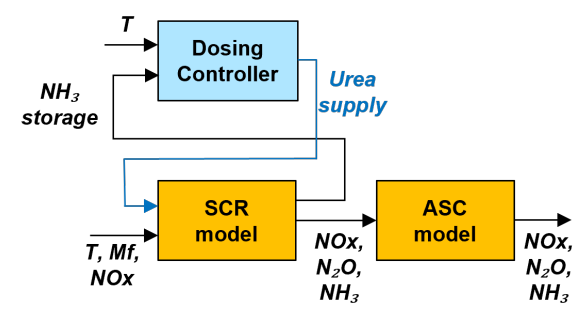


図2 尿素SCRシステムモデル

2.3 設計パラメータの感度解析

尿素 SCRシステムでのNOx浄化性能に影響する因子として、エンジン制御、後処理仕様、尿素噴射制御及び噴霧の一様度が挙げられている $^{(14)}$ 。本研究では、後処理における触媒仕様と尿素噴射制御に着目し、表2に示す、 $^{(14)}$ のSCR上流のNO $_2$ /NOx、 $^{(14)}$ 0 と同標NH $_3$ 吸着量、 $^{(14)}$ 3 SCR容量、 $^{(15)}$ 4 ASC容量、及び $^{(15)}$ 5 ASCのPGM担持量の5つの設計パラメータの感度解析を行った。 $^{(15)}$ 5 SCR上流のNO $_2$ 7/NOxは、DOCモデルのNO酸化活性を変えることで基準を含む5つの水準を設定し、それぞれの水準でのWLTCモードにおけるNO $_2$ 7/NOxの平均値を表2に示した。

目標NH $_3$ 吸着量は、温度上昇によってSCRに吸着した NH $_3$ の脱離及び排出を避けるため、各温度でのSCR触媒のNH $_3$ 吸着特性を考慮して図 $_3$ のように設定した $^{(15)}$ 。また、低温始動時に尿素水を噴射すると尿素、ビウレット、及びシアヌル酸などを主成分とするデポジットが生成しやすいため $^{(16)(17)}$ 、SCRの暖機が完了したのちに尿素水を供給する制約条件を与えた。シミュレーションにより得られたNOx、N $_2$ O、及びNH $_3$ の排出量データについては、基準条件のASC出口の排出量で規格化した。

表2 設計パラメータ

| design parameter | Level | | | | |
|---|-------|------|------|------|------|
| NO ₂ /NOx at SCR inlet [-] | 0.1 | 0.19 | 0.36 | 0.56 | 0.73 |
| Target storage of NH ₃ [-] | 0.5 | 0.75 | 1 | 1.25 | 1.5 |
| SCR volume [L] | 1.25 | 2.5 | 5 | 7.5 | 10 |
| ASC volume [L] | 0.25 | 1 | 3 | 5 | 10 |
| Normalized PGM loading [-] | 0.25 | 0.5 | 1 | 2 | 4 |

: base condition

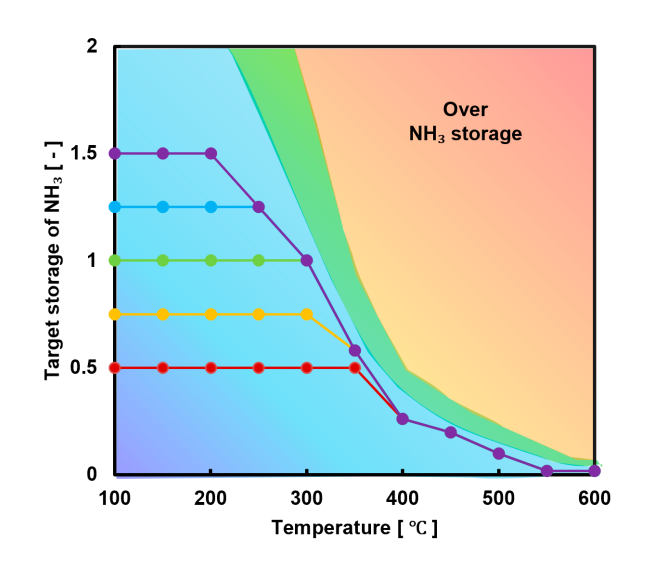


図3 目標NH₃吸着量

^{*1} mil (インチの 1/1000)

^{*2} cpsi (cells per square inch:平方インチあたりのセル数)

2.4 網羅的な組み合わせ計算と解析

尿素SCRシステムの5つの設計パラメータの網羅的な組み合わせ計算を行った。表2に示す5つの設計パラメータについてそれぞれ5水準を掛け合わせた $3,125(=5^5)$ 通りのシミュレーションを実施した。得られた結果から多目的最適化ソフトmodeFRONTIER(ESTECO社製)を用いて、5つの設計パラメータを説明変数、また、NOx、N $_2$ O、及びNH $_3$ 排出量を目的変数とするRSM(応答曲面モデル:Response Surface Methodology)を作成した。この際、RSMの作成手法として、3次の多項式特異値分解を用いた。

3 結果

3.1 触媒単体におけるN2Oの副生

SCR及びASCにおけるN2Oの副生を把握するために触媒の単体試験を実施した結果を図4に示す。

図4(a)に示すSCRでは、NOxとNH $_3$ の反応に伴い、SCRの実用的な使用温度域である150~600℃の全域でおよそ5~15ppmのN $_2$ Oが生成した。NOのみの条件に比べてNO $_2$ が共存する条件ではN $_2$ Oの生成濃度は高い傾向を示した。反応収支計算から、NOxとNH $_3$ の1.5~4.5%に当たる窒素分がN $_2$ Oの生成に消費された。図4(b)に示すASCでは、200~400℃付近にN $_2$ O生成のピークが見られた。NH $_3$ の酸化条件(NH $_3$)に対して、NOが共存する条件(NH $_3$ +NO)ではN $_2$ Oの生成濃度はより高い傾向を示した。反応収支計算より、反応物中の窒素分の7~33%がN $_2$ Oの生成に消費された。

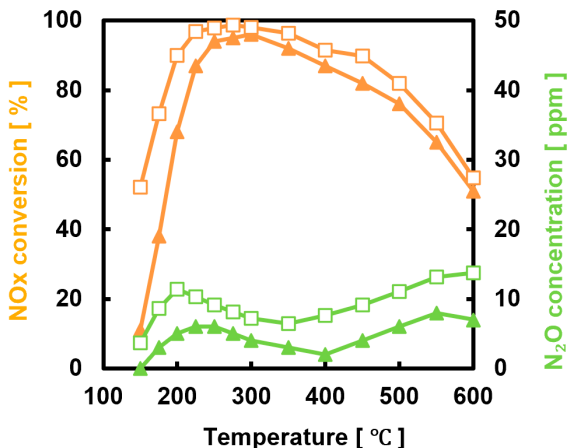
(a) SCR出口のNOx浄化率とN2O濃度

→ NOx conversion (NO+NH₃)

—□—NOx conversion (NO+NO₂+NH₃)

→ N₂O concentration (NO+NH₃)

- - N_2O concentration (NO+NO₂+NH₃)



(b) ASC出口のNH₃浄化率とN₂O濃度

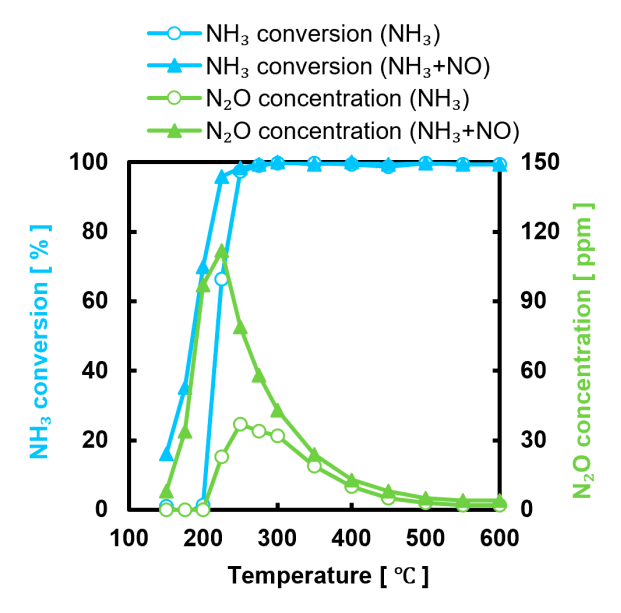


図4 触媒単体試験結果

3.2 過渡モードでのN₂O排出

実際の使用状況におけるN2O排出量及びN2O排出 に関わる要因を明らかにするために、尿素SCRシステ ムモデルを用いてWLTCモード試験条件における排出 ガスのシミュレーションを実施した。尿素SCRシステ ムの初期温度を25℃、初期のNH₃吸着量はゼロとし、 表2の基準条件でシミュレーションした結果を図5に 示す。図5の「Normalized NOx、N2O及びNH3」は、 NOx、N2O及びN2O排出量をWLTCモード終了時にお けるASC出口の排出量でそれぞれ規格化した値であ る。低速域では暖機が未完了で尿素水は供給されない ためN₂Oは排出されないが、中速域から高速域では N₂Oが排出された。これは、SCRに供給された尿素の 分解で生じるNH3と排出ガス中のNOxの反応に伴い、 N₂Oが副生したと考えられる。また、超高速域では N₂Oの排出量は急激に増加したがSCRと併せてASC でもN2Oが生成した。これはSCRで余剰となったNH3 がASCで酸化されてN₂Oを生成したことが原因と考 えられる。モード全体におけるN₂O排出量のうち、 75%はSCR、残りの25%はASCに由来した。

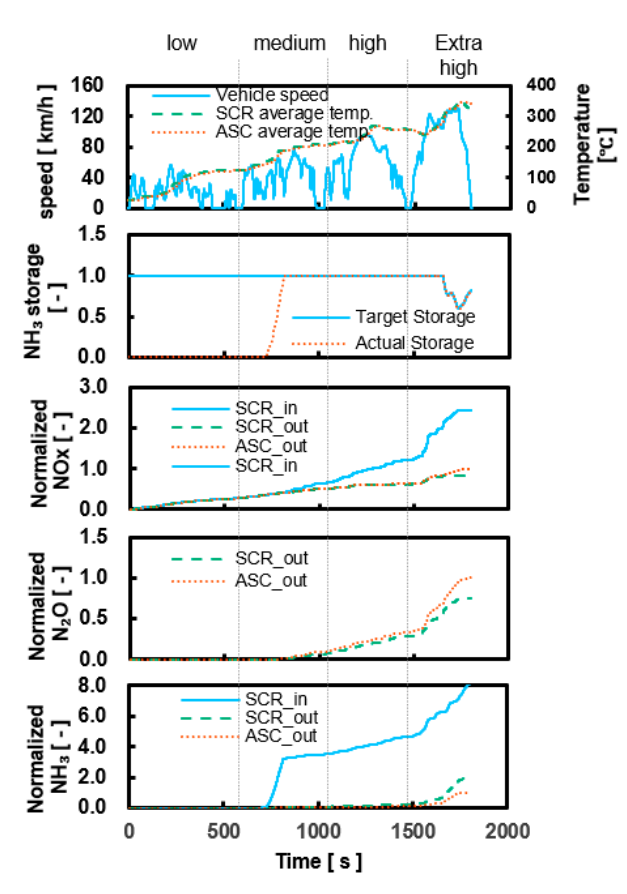
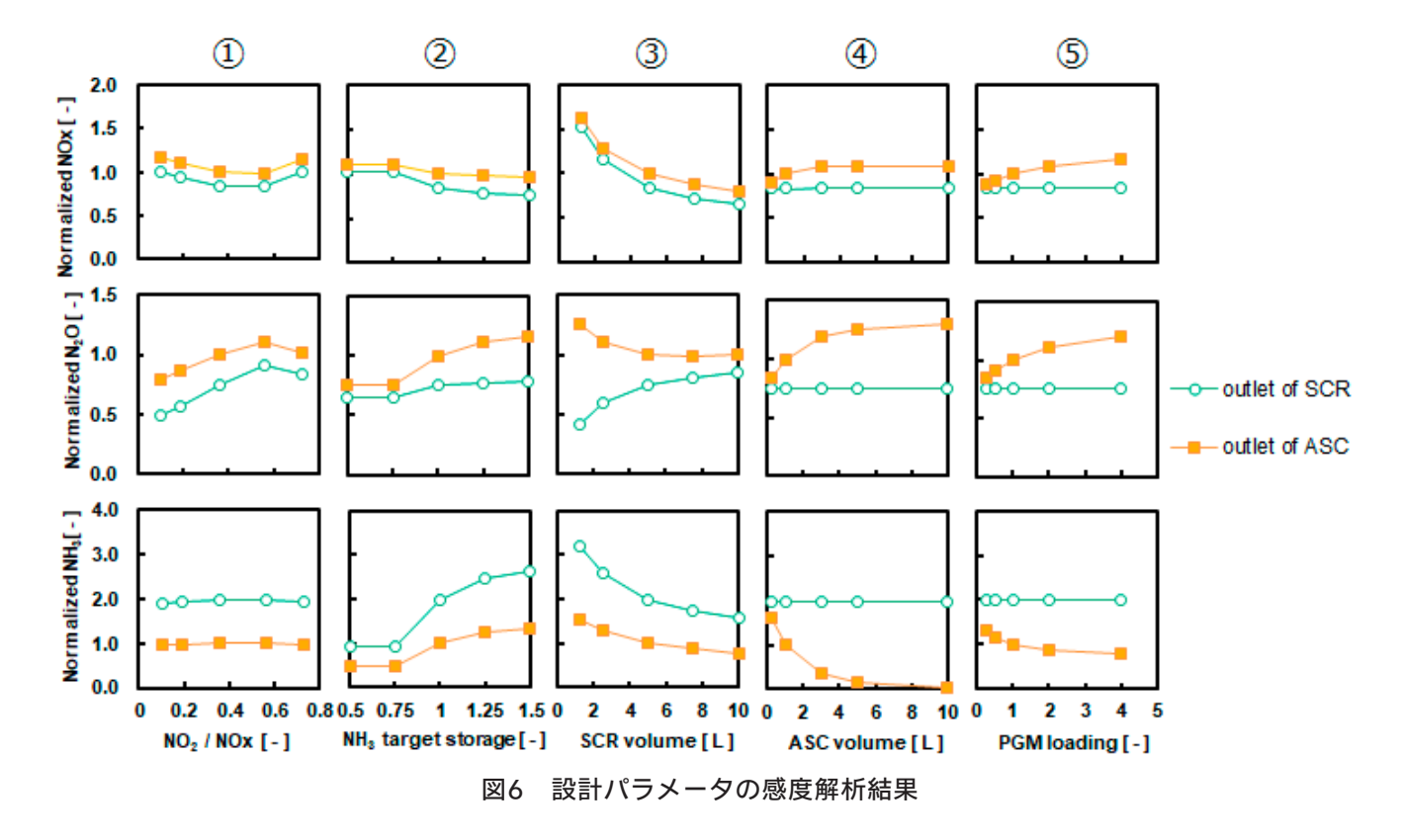


図5 WLTCモードでのシミュレーション結果

3.3 設計パラメータに対する N_2 O排出量の感度解析 N_2 Oの排出量に対する尿素SCRシステムの設計パラメータの影響について感度解析を実施した。

①SCR上流のNO₂/NOx、②目標NH₃吸着量、③SCR容量、④ASC容量、及び⑤ASCのPGM担持量を選択してシミュレーションで評価した。基準条件からそれぞれの設計パラメータを表2の5つの水準に変更した際のNOx、N₂O、及びNH₃の排出量の結果を図6に示す。

図中にはSCR、及びASCの下流での排出量をそれぞ れ示す。①のSCR上流のNO2/NOxが0.5前後でNOx の排出量は低下するがN2Oの排出量は逆に増加した。 ②の目標NH3吸着量を高くすると、NOxの排出量は低 減するがN₂OとNH₃の排出量は逆に増加した。③の SCR容量を増やすと、NOx、N2O、及びNH3の排出量 は共に低減した。④のASC容量若しくは⑤のASCの PGM担持量を増やすと、ASCでのNH₃分解が促進され てNH₃の排出量は低減するがNH₃分解により副生する NOxとN2Oの排出量は増加した。感度解析の結果から、 尿素SCRシステムの5つの設計パラメータはすべて N₂Oの排出量に感度を持つことがわかった。また、③ のSCR容量を増やすとNOx、N2O、及びNH3の排出量 を同時に低減することができるが、それ以外の4つの 設計パラメータではN2Oの排出量に対してNOxまた はNH₃の排出量がトレードオフの関係にあることがわ かった。



3.4 設計パラメータの組み合わせ最適化

前節における尿素SCRシステムの各設計パラメータの単独の効果の検討に続き、複数のパラメータの組み合わせ最適化を試みた。 $\mathbf{k2}$ に示す5つの設計パラメータについてそれぞれ5水準を掛け合わせた3,125(=5 5)通りのシミュレーション結果を説明因子として、WLTCモード試験条件でのNOx、N $_{2}$ O、及びNH $_{3}$ 排出量を推定するRSMをそれぞれ作成した。得られたRSMの決定係数はすべて0.95以上と良好であった。この際に、尿素SCRシステムの設計にあたり、触媒容量は車載性や経済性といった制約を受けるため、SCRとASC

の容量の合計を6 L以下に限定し、RSMを用いてNOx、 N_2O 、及びNH $_3$ の排出量を算出した結果を図7に示す。得られた解のうちNOxとNH $_3$ 排出量が基準条件以下で N_2O 排出量が最も少なかった上位10の解を最適解として抽出した。最適解の一例における5つの設計パラメータを用いてシミュレーションを行い、得られたNOx、 N_2O 、及びNH $_3$ 排出量を表3に示す。シミュレーション結果における N_2O 排出量は、RSMによる算出結果より増加したが、基準条件に対して22%低減していた。

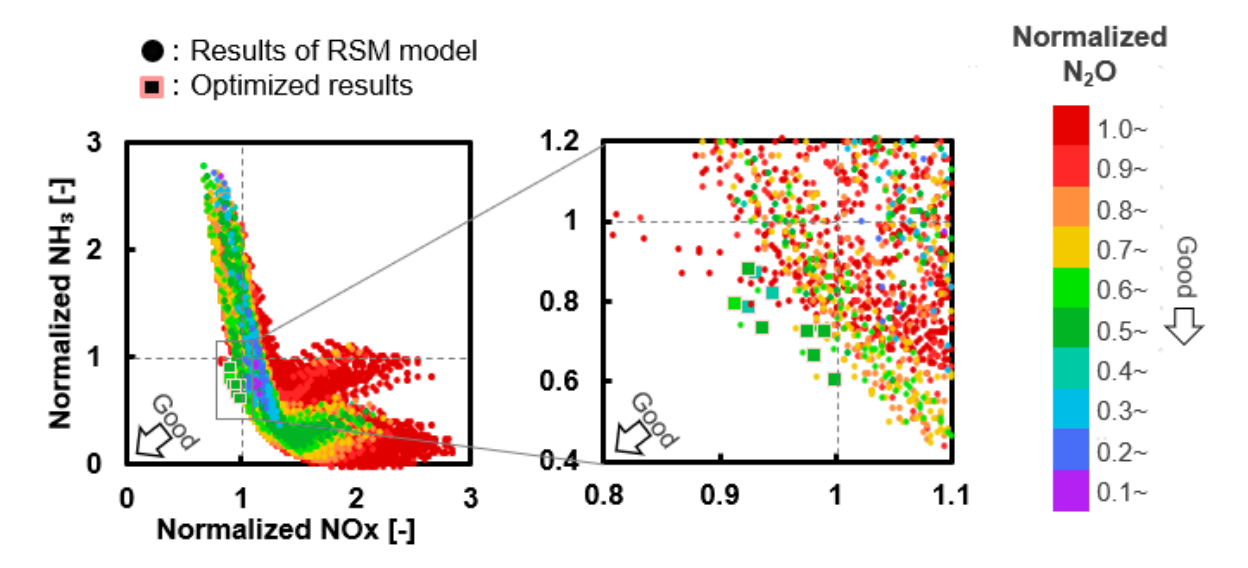


図7 RSMによるNO、N2O、NH3排出量のトレードオフ解析

表3 基準条件と最適解の排出量比較

| | | Base condition | Optimized |
|-------------------|-------------------------------------|----------------|-----------|
| Design Parameters | NO ₂ /NOx [-] | 0.36 | 0.36 |
| | NH3 storage [-] | 1 | 0.63 |
| | SCR volume [L] | 5 | 5.7 |
| | ASC volume [L] | 1 | 0.3 |
| | PGM loading [-] | 1 | 3 |
| Emissions | Normalized NOx [-] | 1.00 | 1.00 |
| | Normalized N₂O [-] | 1.00 | 0.78 |
| | Normalized NH ₃ [-] | 1.00 | 0.74 |

4 考察

4.1 触媒でのN₂O生成

Cu-SCR触媒は、高いNOx浄化性能を示すことから 近年は尿素SCRシステムへの採用が進んでいる一方で、 N_2OO 副生量が比較的多いことが知られている(18)。

図4(a)のSCRの単体試験の結果から、 N_2 Oの生成濃度は温度及びNO $_2$ の共存に影響を受けたことが推測される。Cu-SCR触媒上で N_2 Oが生成するメカニズムとして、300°C以下の低温ではブレンステッド酸点に生成する NH_4NO_3 (硝酸アンモニウム)の分解が主な原因であると言われている $^{(19)}$ 。また、近年ではCuサイト上でのニトロソアミド (H_2NNO) を介した経路も提案されている $^{(20)}$ 。300°C以上の高温では NH_3 酸化及びSCR反応での副生が主な原因と考えられている $^{(11)}$ (21)(22)。SCR上流の NO_2 が共存する場合に N_2 O生成濃度が高くなるのは、硝酸アンモニウムが生成しやすいこととSCR反応での副生が増えることが原因と考えられる。

図4(b)のASCの単体試験の結果から、ASCでは 200~400℃でN₂Oを生成したことが確認された。 ASCはPGMとCu-SCRを複層でコートした触媒であるが、このうち N_2 O生成に対してはPtなどのPGMが強く寄与することが先行研究から知られている $^{(23)}$ 。PGM触媒上での NH_3 の酸化分解では、200~400℃で N_2 Oが副生しやすい $^{(1)}$ 。これは、 NH_3 が酸化する過程において、PGM表面では低温ではNが、高温ではNOが吸着種として高い比率となるが、200~400℃の中間的な温度域ではNとNOが混在して吸着するために、それらが結合・脱離して N_2 Oを生成すると考えられている $^{(24)}$ 。また、NOが共存する条件 (NH_3+NO) では N_2 Oの生成濃度はより高い傾向を示すのは、低温でPGM表面に N_3 Cのを生成するためである $^{(23)}$ 。

4.2 NOx、N₂O、及びNH₃の排出量のトレードオフ 関係

設計パラメータの感度解析の結果(図6)から、SCR容量以外の4つの設計パラメータではNOx、 N_2 O、及びNH $_3$ の排出量がトレードオフ関係となったメカニズムについて考察する。

一つ目として、fast SCR反応によるNOx浄化とN $_2$ O 副生の関係が影響していると考えられる。排出ガス中のNO $_2$ の一部にNO $_2$ が共存すると、SCRではNO $_2$ や化活性が高いfast SCR反応が進行することが知られている $_1^{(11)(25)}$ 。一方で、 $_2^{(11)(25)}$ 。 $_2^{(11)(25)}$ 。 $_2^{(11)(25)}$ 。 $_2^{(11)(25)}$ 。 $_2^{(11)(25)}$ 。 $_2^{(11)(25)}$ 。 $_2^{(11)(25)}$ 0、 $_2^{$

二つ目として、尿素水供給量によるNOx浄化活性とNH $_3$ 排出量の関係が影響していると考えられる。CuSCRではNH $_3$ 吸着量が増加するとそれに比例してNOx浄化活性は高まる⁽²⁶⁾。その一方で、NH $_3$ 吸着量を高くすると、触媒温度が上昇した際に吸着したNH $_3$ が飽和脱離しやすくなるためにNH $_3$ 排出量は増加する。SCRに対する目標NH $_3$ 吸着量を高くした場合にNOxの排出量は低減するのに対してNH $_3$ 排出量が増加するトレードオフ関係が生じるのはこのためと考えられる。

三つ目として、ASCにおけるNH3酸化活性とN2O若しくはNO副生量の関係が影響していると考えられる。SCRから脱離した余剰のNH3がASCのPGM触媒で酸化分解される場合、N2の他にNOx及びN2Oを副生することが知られている $^{(1)(10)(23)(24)}$ 。ASCに流入するNH3量が多い場合、もしくはASCのNH3酸化活性が高い場合に、ASCにおけるN2O若しくはNO副生量は増加する。ASC容量、及びASCのPGM担持量を増加させた場合では、ASCのNH3酸化活性が増加するため、NH3排出量は減少しNox及びN2Oの排出量は増加するトレードオフが生じると考えられる。

4.3 システムの設計パラメータの最適化指針

WLTCモードでの排出ガスシミュレーション結果から、尿素SCRシステムの主要な5つの設計パラメータのうち、SCR容量の増加がNOx、 N_2 O、及びNH $_3$ O排出量の同時低減に有効であった。これはSCR容量の増加により、NOxの浄化性能が高まりつつ、NH $_3$ O吸着能力も増加することでASCへの余剰なNH $_3$ の流入量と N_2 O生成が低減するためである。

SCR上流のNO2/NOxは、NOx浄化の観点では低温活性の高いfast SCRを最大限利用するために0.5程度が最適とされてきた。一方で、NO2/NOxは高いほどN2Oの排出量が増加する傾向があり、N2Oの排出量まで考慮した場合には従来の考え方よりもNO2/NOxを低く設定すべきである。システム設計においてはディーゼル酸化触媒(DOC)及びスス捕集フィルター(DPF)の酸化触媒の触媒種並びに担持量などで最適化できる。

SCRの目標NH3吸着量を高めると、排出ガス中のNOx浄化反応が促進されNOxの排出量は低減できる。一方で、ASCへの余剰なNH3の流入が起きやすくなることから、ASCでのN2O生成とNH3排出量が増加する。NOxの排出量に対するNH3とN2Oの排出量のトレードオフ関係から、目標NH3吸着量にはそれらのバランスを考慮した設計が必要と考えられる。

ASCの容量若しくはPGM担持量を高くすると、ASCでのNH $_3$ 分解活性が高くなるため、NH $_3$ の排出量は低減できるがその分解生成物であるNOxとN $_2$ Oの排出量は増加する。NH $_3$ の排出量に対するNOxとN $_2$ Oの排出量のトレードオフ関係から、ASC容量若しくはASCのPGM担持量にはそれらのバランスを考慮した設計が必要と考えられる。

4.4 N₂Oを低減するシステム設計の考察

本検討ではSCR容量とASC容量の合計を6 L以下とする制約条件を設定して、設計パラメータの最適解を探索した。その結果、基準条件に対してNOxとNH3の排出量を同等以下としつつ、N2Oの排出量を約22%低減する解が得られた。表3の最適解に関して、排出ガスのシミュレーション解析によりN2Oの低減要因を解析した結果、SCR容量を大きく、また、SCRの目標NH3吸着量を低く設定することでSCRからASCへのNH3の流入量が低下し、ASCでのN2O生成量は、基準条件と比較して約70%低減した。一方で、SCRでのN2O生成量は基準条件に比べて約6%低減した。設計パラメータの最適化は、ASCでのN2O排出量低減に対して有効であったが、SCRでのN2O排出量低減に対して効果が小さいことが確認できた。

本検討の結果は、近年に主流となったCu-SCRを利用した尿素SCRシステムにおける N_2O の排出量の低減に関するシステム設計の指針を示すと同時に、NOx、 N_2O 、及び NH_3 の排出量のトレードオフに由来する性能限界を示したと言える。一方、実際の製品開発では

重要となる様々な実路での走行条件、及びNH₃吸着量を制御因子とした尿素供給制御で生じる誤差要因(NH₃吸着量の推定値、NOxセンサの個体差・劣化、尿素供給量など)を考慮していない点は今後の課題である。

今後の更なる尿素SCRシステムの改良に向けて、ま ず、触媒材質の改良が重要と考えられる。具体的には、 SCRではCu-SCRのN₂選択率の向上、若しくはN₂Oを 副生しにくい酸化バナジウム触媒及び鉄イオン交換ゼオ ライト触媒の性能改良を挙げることができる。ASCに おけるNH3酸化反応のN2選択率の向上も効果的であ ろう。次に、ディーゼルエンジンからのNOxの排出量 を減らすことで、その浄化に伴うN2O副生を低減させ ることが重要と考えられる。更に、様々な実路での走 行条件とNH3吸着量を制御因子とした尿素供給制御で 生じる誤差要因を考慮した尿素SCRシステムのロバス ト最適化により、リアルワールドでの排出ガス低減に も取り組む必要がある。この課題に対しては、本検討 で用いたシミュレーションによる解析手法が適用でき ると考えられる。以上のような技術開発により本検討 で示した性能限界を超える、優れたディーゼル後処理 システムの実現が期待される。

5 おわりに

本報告では、尿素SCRシステムでの N_2 Oの生成要因の明確化とNOx、 N_2O 、及び NH_3 の排出量を同時低減する設計指針の検討を目的として以下の知見を得た。

- (1) Cu-SCRを利用した尿素SCRシステムにおける N₂O排出の主な要因はSCR触媒でのNOx浄化 に伴うN₂O副生で、次いで、ASCでのNH₃酸化 に伴うN₂O副生である。
- (2) 尿素SCRシステムの設計パラメータのうち、 SCR容量を増加することでNOx、N2O、及び NH3の排出量を同時に低減できた。一方で、それ 以外の4つの設計パラメータではN2Oの排出量 に対してNOx、もしくはNH3の排出量がトレー ドオフの関係となった。
- (3) 尿素SCRシステムの設計最適化により、ASCで ON_2O 副生を最小化できる一方で、SCRにおける N_2O 副生の低減は困難である。
- (4) 今後は触媒材料の改良及び本検討の解析手法を 応用した実使用環境でのロバスト設計手法の確 立が望まれる。

本文献は自動車技術会論文集Vol.56、No.3に掲載された論文を加筆修正の上報告するものである。

参考文献

- (1) L. Chmielarz et al. : Jabłońska: Advances in selective catalytic oxidation of ammonia to dinitrogen: a review, RSC Advances, Vol. 5, No. 54, (2015), p.43408-43431
- (2) H. Zhang et al.: Earth's energy budget, climate feedbacks, and climate sensitivity, Advances in Climate Change Research, Vol. 17, No. 6(2021), p.691
- (3) M. Clairotte et al.: Exhaust emission factors of greenhouse gases (GHGs) from European road vehicles, Environmental Sciences Europe, Vol. 32(2020), p.1-20
- (4) 鈴木央ー ほか: 尿素 SCR 車の規制および未規制 成分の排出特性解析, 自動車技術会論文集, Vol. 39 (2008), p.161-166 (2008)
- (5) 鈴木央ー ほか: 尿素 SCR における亜酸化窒素の 排出及び生成要因に関する考察, 自動車技術会論文 集, Vol. 40(2009), p.991-996
- (6) 山本敏朗 ほか: 尿素 SCR システム搭載貨物車の 路上走行時におけるNOx,NH3およびN2Oの排出 挙動, 自動車技術会論文集, Vol. 44(2013), p.1489-1496
- (7) 使用過程車からの亜酸化窒素の排出実態について, 東京都環境公社, https://www.tokyokankyo.jp/kankyoken/wpcontent/uploads/sites/5/2024/01/b0878274 85d8b893711a93556342c393.pdf
- (8) K. Kamasamudram et al.: N2O Formation and Mitigation in Diesel Aftertreatment Systems, SAE International Journal of Engines, Vol.5(2012), p.688-698
- (9) A.Grossale et al.: Role of Nitrate Species in the "NO₂-SCR" Mechanism over a Commercial Fe-zeolite Catalyst for SCR Mobile Applications, Catalysis Letters, Vol.130(2009), p.525-531
- (10) A. Scheuer et al.: NH3-Slip Catalysts: Experiments Versus Mechanistic Modelling, Topics in Catalysis, Vol.52(2009), p.1847-1851
- (11) 田口将宏 ほか:高NO₂/NOx領域におけるSCR モデルの予測精度向上,自動車技術会論文集, Vol.51(2020), p.280-285
- (12) 田口将宏 ほか: アンモニアスリップ触媒のプラントモデル構築検討(第3報) 混合触媒モデルの複層触媒の性能予測への適用 , 自動車技術会論文集, Vol. 52(2021), p.226-231

- (13) B. Opitz et al.: Simulation study of SCR catalysts with individually adjusted ammonia dosing strategies, Chemical Engineering Journal, Vol.264(2015), p. 936-944
- (14) I.Nova et al.: Urea-SCR Technology for deNOx After Treatment of Diesel Exhausts, Fundamental and Applied Catalysis. Springer, New York(2014)
- (15) 阿野田洋 ほか: MBD(Model Based Development)を活用した近接SCRシステムの設計,自動車技術会秋季大会2024, JSAE20246289,2024
- (16) J. Ball: A toxicological evaluation of potential thermal degradation products of urea, SAE Technical Paper, No.2001-01-3621(2001)
- (17) L. Xu et al.: Laboratory and engine study of urea-related deposits in diesel urea-SCR after-treatment systems, SAE Transactions, 202-209(2007)
- (18) H.Többen et al.: Formation of N₂O in the Exhaust Line of Combustion Engines, SAE Technical Paper, No.2023-01-5045(2023)
- (19) J. Han et al.: N₂O formation during NH3-SCR over different zeolite frameworks: effect of framework structure, copper species, and water, Industrial & Engineering Chemistry Research, Vol.60(2021), p.17826-17839
- (20) Y.Feng et al. :The role of H+-and Cu+-sites for N_2O formation during NH3-SCR over Cu-

- CHA, The Journal of Physical Chemistry C, Vol.125(2021), p.4595-4601
- (21) M. Jabłońska: Review of the application of Cu-containing SSZ-13 in NH3-SCR-DeNO x and NH3-SCO, RSC Advances, Vol.12(2022), p.25240-25261
- (22) S. Li et al. : Experimental and kinetic modeling study for N_2O formation of NH3-SCR over commercial Cu-zeolite catalyst, Advances in Mechanical Engineering , Vol.13(2021), p.1-12
- (23) 大堀鉄平 ほか:アンモニアスリップ触媒のプラントモデル構築検討,自動車技術会論文集, Vol.49(2018), p. 587-592
- (24) R.Kraehnert et al.: Kinetics of ammonia oxidation over Pt foil studied in a microstructured quartz-reactor, Chemical engineering journal, Vol.137(2008), p.361-375
- (25) M.Iwasaki et al.: A comparative study of "standard", "fast" and "NO2" SCR reactions over Fe/zeolite catalyst, Applied Catalysis A: General, Vol.390(2010), p. 71-77
- (26) K.Kamasamudram et al.: Why Cu-and Fezeolite SCR catalysts behave differently at low temperatures, SAE International Journal of Fuels and Lubricants, Vol.3(2010), p.664-672

◇いすゞ歴史の一こま



藤沢工場事務棟玄関前(1962年ごろ)